

Universidade de São Paulo  
EESC

SEM0530 - Problemas de Engenharia Mecatrônica II  
Prof. Marcelo Areias Trindade

Prática 1 - Zeros de funções

Aluno: Marcus Vinícius Costa Reis (12549384)

18/05/2022

# Contents

<b>1</b>	<b>Problema</b>	<b>3</b>
1.1	Formulações . . . . .	3
1.1.1	Parte 1 . . . . .	3
1.1.2	Parte 2 . . . . .	5
1.2	Resultados . . . . .	6
1.2.1	Parte 1 . . . . .	6
1.2.2	Parte 2 . . . . .	6
1.3	Gráficos . . . . .	7
1.3.1	Parte 1 . . . . .	7
1.3.2	Parte 2 . . . . .	7
1.4	Análise do equilíbrio . . . . .	8
1.5	Scripts . . . . .	9
<b>2</b>	<b>Conclusões</b>	<b>11</b>

# 1 Problema

- Determinar o deslocamento estático (devido ao peso) de uma suspensão automotiva (oblíqua), i.e. encontrar  $u$  para o qual o equilíbrio estático é alcançado.
- Deseja-se também calcular e visualizar graficamente como a rigidez efetiva ( $k_{ef}$ ) varia com  $u$  e o valor de rigidez efetiva na proximidade da(s) configuração(ões) de equilíbrio estático.

## Dados:

- $d = 0.2\text{ m}$ ,  $L = 0.5\text{ m}$ ,  $k = 10\text{ kN/m}$ ,  $g = 9.81\text{ m/s}^2$
- $M = (180 + N)\text{ kg}$ , onde  $N$  é formado pelos dois últimos algarismos do N° USP.  
Neste caso, 84. Logo,  $M = 264\text{ kg}$ .

## 1.1 Formulações

### 1.1.1 Parte 1

Em primeira análise, é válido destacar que em decorrência da aplicação da carga  $W$  sobre a estrutura, ocorre um deslocamento  $u$  vertical para baixo, de modo que a componente vertical da força restauradora proveniente das molas, responsável por balancear a ação da carga, dependa de  $u$ .

A Figura 1 mostra uma situação geral, na qual a estrutura se encontra deslocada de  $u$  a partir do ponto superior inicial. As molas encontram-se comprimidas de um  $\Delta L = L - L_f$ , onde  $L_f$  é o comprimento das mesmas na situação em questão. Pela geometria, segue que

$$\begin{aligned} L_f^2 &= (h - u)^2 + d^2 = h^2 + d^2 + u^2 - 2hu = L^2 + u(u - 2h) \\ \implies L_f &= \sqrt{L^2 + u(u - 2h)} \quad (1) \end{aligned}$$

A Figura 2 mostra o diagrama de equilíbrio estático para o ponto material superior. Adotando-se o eixo  $y$  positivo vertical para cima, tem-se para o somatório de forças na vertical:

$$\begin{aligned} \sum F_y &= 0 \implies 2f_m \sin \theta - W = 0 \\ \iff 2f_m \sin \theta &= W \quad (2) \end{aligned}$$

Evidencia-se, também, que  $\sin \theta$  é função de  $u$ , e segue a relação:

$$\sin \theta = \frac{h - u}{L_f} \iff \sin \theta \stackrel{(1)}{=} \frac{h - u}{\sqrt{L^2 + u(u - 2h)}} \quad (3)$$

Em seguida, pela Lei de Hooke, tem-se que a força elástica  $f_m$  das molas segue a equação:

$$\begin{aligned} f_m &= -k(L_f - L) = k(L - L_f) \\ \implies f_m &= k \left[ L - \sqrt{L^2 + u(u - 2h)} \right] \quad (4) \end{aligned}$$

Por meio das equações 1, 2, 3 e 4, chega-se a uma equação envolvendo  $u$ :

$$\frac{2k \left[ L - \sqrt{L^2 + u(u - 2h)} \right] (h - u)}{\sqrt{L^2 + u(u - 2h)}} = W \quad (5)$$

Expandindo, tem-se:

$$\frac{2kL(h-u)}{\sqrt{L^2 + u(u-2h)}} - 2k(h-u) = W \iff \frac{2kL(h-u)}{\sqrt{L^2 + u(u-2h)}} = W + 2k(h-u)$$

Quadrando ambos os membros da equação:

$$\frac{4k^2L^2(h-u)^2}{L^2 + u(u-2h)} = W^2 + 4Wk(h-u) + 4k^2(h-u)^2$$

Tendo em vista a forma complicada da expressão anterior e objetivando a possível obtenção de um polinômio, realizou-se a mudança de variável  $v(u) = h - u$ . Assim:

$$\begin{aligned} \frac{4k^2L^2v^2}{L^2 - (h^2 - v^2)} &= W^2 + 4Wkv + 4k^2v^2 \\ \iff 4k^2L^2v^2 &= (W^2 + 4Wkv + 4k^2v^2)[L^2 - (h^2 - v^2)] \end{aligned}$$

Expandindo:

$$4k^2L^2v^2 = W^2L^2 + 4WkL^2v + 4k^2L^2v^2 - W^2(h^2 - v^2) - 4Wkv(h^2 - v^2) - 4k^2v^2(h^2 - v^2)$$

Organizando:

$$(4k^2)v^4 + (4Wk)v^3 + (W^2 - 4k^2h^2)v^2 + [4Wk(l^2 - h^2)]v + W^2(l^2 - h^2) = 0$$

$$\iff g(v) = (4k^2)v^4 + (4Wk)v^3 + (W^2 - 4k^2h^2)v^2 + [4Wk(l^2 - h^2)]v + W^2(l^2 - h^2)$$

Desse modo, chegou-se a um polinômio de grau 4 em  $v$ . Após a determinação de suas raízes, pode-se simplesmente retomar a mudança de variável e encontrar os respectivos valores para  $u$ .

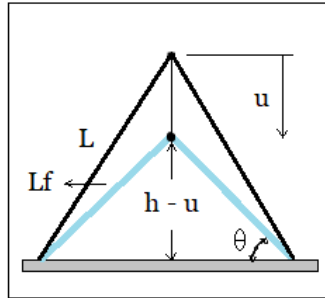


Figure 1: Situação geral (sistema deslocado de  $u$ )

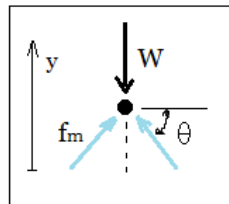


Figure 2: Diagrama de forças para o ponto material

### 1.1.2 Parte 2

Agora, volta-se o foco para a análise da rigidez efetiva ( $k_{ef}$ ) do sistema em questão, bem como sua dependência em relação a  $u$ .

A ideia baseia-se em encontrar um sistema hipotético equivalente ao original, no qual a carga  $W$  seja balanceada por uma força de mola equivalente  $f_{m_e}$ , que será dada por

$$f_{m_e} = k_{ef}u,$$

onde  $u$  é o deslocamento no sistema original.

Sendo assim,  $f_{m_e}$  deve ter módulo igual a  $2f_m \sin \theta$ , a resultante das forças elásticas na vertical para o caso original. Logo:

$$\begin{aligned} f_{m_e} = k_{ef}u &\implies k_{ef}u = 2f_m \sin \theta \\ \iff k_{ef} &\stackrel{(3),(4)}{=} 2k \frac{\left[ L - \sqrt{L^2 + u(u - 2h)} \right]}{\sqrt{L^2 + u(u - 2h)}} \left( \frac{h}{u} - 1 \right) \quad (6) \end{aligned}$$

A expressão acima será analisada posteriormente.

## 1.2 Resultados

### 1.2.1 Parte 1

A partir do polinômio  $g$  de quarto grau em  $v$  encontrado anteriormente, foi possível colocar seus coeficientes no prompt do software Octave e, por meio do método interno *roots()*, encontrar os valores de  $v$  para os quais  $g(v) = 0$ .

Antes, porém, utilizou-se dos dados numéricos do problema para determinar o polinômio:

$$g(v) = 400v^4 + 103.59v^3 - 77.293v^2 + 4.1437v + 0.2683 \quad (7)$$

Vale ressaltar que foi utilizado  $W = Mg = (264 \text{ kg})(9.81 \text{ m/s}^2) = 2.5898 \text{ kN}$ , bem como  $h = 0.4583 \text{ m}$ , obtido a partir da relação  $h = (L^2 - d^2)^{1/2}$ .

Chegou-se, então, aos seguintes valores para  $v$ :

$$v_1 = -0.604 \text{ m}, \quad v_2 = 0.275 \text{ m}, \quad v_3 = 0.108 \text{ m}, \quad v_4 = -0.037 \text{ m}$$

De posse da relação de mudança de variável ( $v(u) = h - u$ ), pôde-se isolar  $u$  ( $u(v) = h - v$ ) e encontrar, por fim, os possíveis valores para o deslocamento estático do sistema:

$$u_1 = 1.0624 \text{ m}, \quad u_2 = 0.1835 \text{ m}, \quad u_3 = 0.3504 \text{ m}, \quad u_4 = 0.4957 \text{ m}$$

Sabe-se, no entanto, que o deslocamento está restrito ao intervalo  $(0, h) = (0, 0.4583)$ , do ponto superior ao anteparo. Dessa forma, os valores de  $u$  para o equilíbrio são apenas  $u_2$  e  $u_3$ . Renomeando-os:

$$u_I = 0.1835 \text{ m}, \quad u_{II} = 0.3504 \text{ m}$$

### 1.2.2 Parte 2

Nesta etapa, serão apenas apresentados os valores de rigidez efetiva associados a  $u_I$  e  $u_{II}$ . O comportamento da função  $k_{ef}(u)$  será discutido posteriormente.

Antes, porém, vale reescrever a equação 6 utilizando os valores numéricos das constantes:

$$k_{ef} = \frac{20[0.5 - \sqrt{0.25 + u(u - 0.9165)}](0.4583 - u)}{u\sqrt{0.25 + u(u - 0.9165)}}$$

Assim, chegou-se aos seguintes valores utilizando  $u = u_I$  e  $u = u_{II}$ :

$$k_{ef}^I = 14.115 \text{ kN/m}, \quad k_{ef}^{II} = 7.3923 \text{ kN/m}$$

## 1.3 Gráficos

### 1.3.1 Parte 1

Utilizando-se o Octave, foi possível plotar o gráfico correspondente ao polinômio  $g$ .

Escolheu-se um intervalo conveniente no eixo das abcissas para poder abranger as quatro raízes do polinômio. Todavia, o trecho de interesse está compreendido apenas no intervalo  $(0, 0.4583)$ , cujos extremos correspondem a  $u = h = 0.4583$  e  $u = 0$ , respectivamente.

O Gráfico 1 mostra tal empreitada.

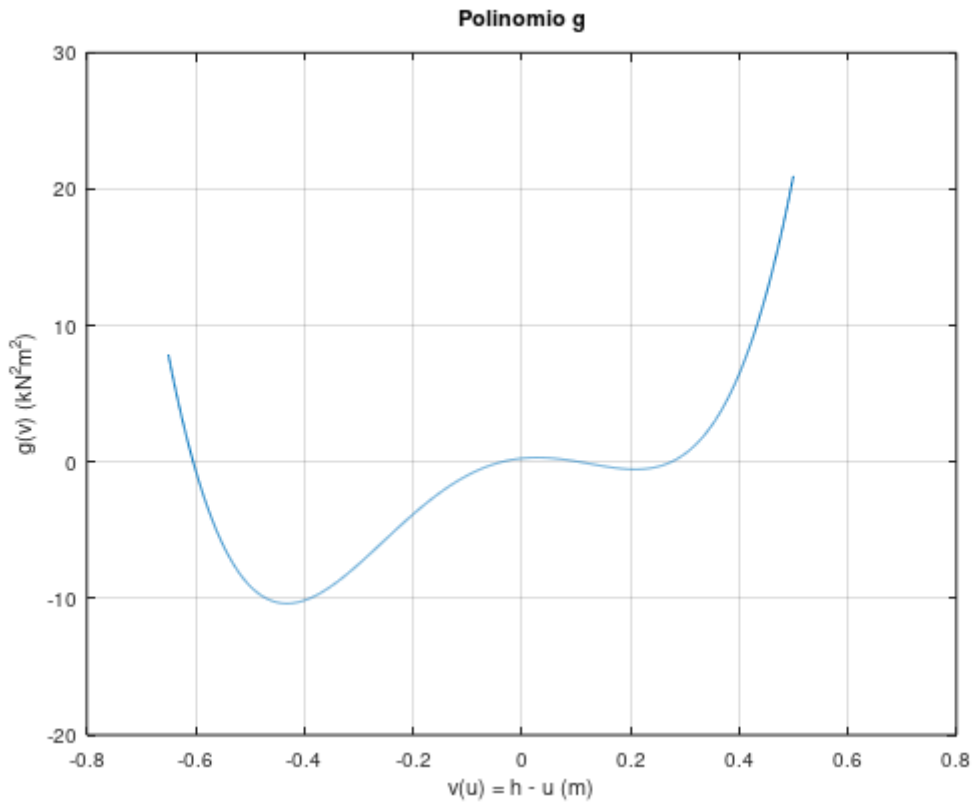


Figure 3: Curva do polinômio  $g$  (Gráfico 1)

### 1.3.2 Parte 2

O foco, no entanto, está na análise do gráfico que representa a curva de rigidez efetiva e sua variação com respeito ao deslocamento estático  $u$ . O último pôde ser também gerado por meio do Octave, no qual, novamente, escolheu-se uma região de interesse para destacar.

O resultado de tal ação é mostrado no Gráfico 2.

Faz-se importante, primordialmente, a análise da curva para duas situações, sendo elas: quando o deslocamento  $u$  tende a ser nulo ( $u \rightarrow 0$ ) e quando  $u$  tende a  $h$  ( $u \rightarrow h$ ).

Iniciando pela primeira situação, é válido interpretar seu significado no contexto do problema original. O deslocamento estático em questão ocorre em decorrência da ação da carga  $W$  aplicada, como já citado anteriormente. Sendo assim, se  $u$  tende a zero, então o sistema tende a uma situação na qual inexistente aplicação de carga. Portanto, a rigidez efetiva será uma equivalência à geometria das molas na situação indeformada.

Pensando em uma circunstância hipotética na qual as molas estivessem ambas na vertical, a rigidez efetiva seria dada por  $k_{ef} = 2k$ . Todavia, como o ângulo entre as molas e o chão é de aprox.  $66.43^\circ = \sin^{-1}(h/L)$ , espera-se um valor de  $k_{ef}$  próximo de  $2k = 20 \text{ kN/m}$ .

Observando o Gráfico 2, tem-se que a intuição anterior se mostra correta, tendo em vista que o valor de  $k_{ef}$  tende a alguma medida entre  $16 \text{ kN/m}$  e  $17 \text{ kN/m}$ . Vale, ainda, ressaltar, que o ponto exato da curva para o qual  $u = 0$  não é definido, já que, pela eq. 6, estaria-se dividindo a expressão por zero. Trata-se de um ponto de descontinuidade removível.

No que diz respeito à segunda situação (quando  $u \rightarrow h$ ), entende-se que as molas estariam convergindo para uma circunstância na qual ambas estariam na horizontal. Dessa maneira, não haveria força restauradora atuando na direção vertical, e a rigidez efetiva seria, por conseguinte, nula.

Pelo gráfico, observa-se que  $u = 0.4583$  é zero da função, ou seja,  $k_{ef}(0.4583) = 0$ , confirmando o que foi discutido.

Uma última análise pertinente concerne ao comportamento da curva quando  $u \rightarrow -\infty$ . Fazendo analogia à situação real, pode-se pensar que o ângulo  $\theta$  entre as molas e o anteparo estaria crescendo e tendendo a  $\pi/2$ , de forma que, então, as molas tenderiam a estar dispostas na vertical, e paralelas entre si. Desse modo, depreende-se que  $k_{ef}$  seria simplesmente  $2k$ . De fato, a curva tem uma assíntota horizontal em  $k_{ef} = 20 \text{ kN/m}$ .

Por fim, vale ressaltar que a partir do ponto de deslocamento  $u = h = 0.4583 \text{ m}$ , a curva não possui mais interpretação física, já que teria-se atravessado a linha do anteparo.

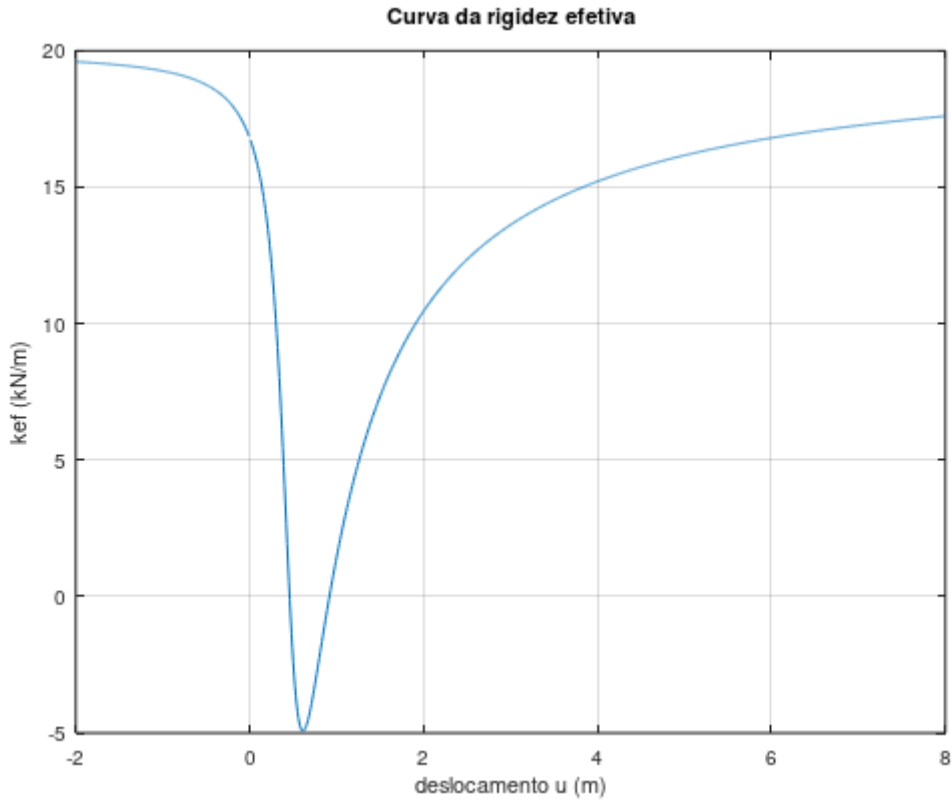


Figure 4: Curva de rigidez efetiva (Gráfico 2)

## 1.4 Análise do equilíbrio

Como foram encontrados dois valores distintos para o deslocamento estático  $u$  que satisfazem o equilíbrio da estrutura, faz-se conveniente analisar a estabilidade do equilíbrio em cada ponto encontrado.

Para tal, pode-se interpretar o polinômio  $g$  como a primeira derivada de uma função primitiva  $G$ , que não tem relação com o problema no momento. Fato é, como os valores



de  $v$  encontrados são raízes de  $g$ , faz-se analogia à determinação de máximos e mínimos de funções (nesse caso seria analisada a primitiva  $G$ ) para se utilizar do teste da segunda derivada e concluir a respeito da estabilidade do equilíbrio.

Desse modo, a função segunda derivada de  $G$  é a derivada primeira de  $g$ , de modo que se obtém:

$$z(v) = g'(v) \stackrel{(7)}{=} 1600v^3 + 310.77v^2 - 154.586v + 4.1437$$

Utilizando o Octave, calculou-se o valor de  $z$  nos pontos  $v_2$  e  $v_3$  (correspondentes a  $u_I$  e  $u_{II}$ ). Obteve-se:

$$z(v_2) = 18.316 > 0, \quad z(v_3) = -6.9075 < 0$$

Dessa forma, conclui-se que o equilíbrio em  $u = u_I$  é *estável*, enquanto em  $u = u_{II}$ , é *instável*.

Uma possível explicação sobre esses resultados pode ser obtida quando se observam os valores de  $k_{ef}$  em cada situação. Para  $u = u_{II}$ , o valor da rigidez efetiva é inferior à rigidez de cada mola sozinha. Isso aponta para uma certa instabilidade. Para  $u = u_I$ , esse valor é quase o dobro.

Ademais, se há uma desestabilização em  $u = u_{II}$ , o sistema tende a retornar para a posição  $u = u_I$ , de equilíbrio estável.

## 1.5 Scripts

As figuras que se seguem mostram os scripts em Octave utilizados para os cálculos anteriores, bem como para a geração dos gráficos.

```
Janela de Comandos
>> display('Polinomio g')
Polinomio g
>> g = [400 103.59 -77.293 4.1437 0.2683]
g =

    400.0000    103.5900   -77.2930     4.1437     0.2683

>> v = roots(g)
v =

   -0.604154
    0.274753
    0.107882
   -0.037456

>> display('Mudanca de variavel')
Mudanca de variavel
>> h = sqrt(0.5^2 - 0.2^2)
h = 0.4583
>> u = h - v
u =

    1.0624
    0.1835
    0.3504
    0.4957

>> |
```

Figure 5: Valores de  $u$

```
Janela de Comandos
>> display('Rigidez efetiva')
Rigidez efetiva
>> u = [0.1835; 0.3504]
u =

    0.1835
    0.3504

>> u1 = u(1)
u1 = 0.1835
>> u2 = u(2)
u2 = 0.3504
>> kef = 20*(0.5 - sqrt(0.25+u1*(u1-0.9165)))*(0.4583 - u1)/(u1*sqrt(0.25+u1*(u1-0.9165)))
kef = 14.115
>> kef = 20*(0.5 - sqrt(0.25+u2*(u2-0.9165)))*(0.4583 - u2)/(u2*sqrt(0.25+u2*(u2-0.9165)))
kef = 7.3923
>> |
```

Figure 6: Valores de  $k_{ef}$

```
Janela de Comandos
>> v = -0.65:0.001:0.5;
>> g = 400*v.^4 + 103.59*v.^3 -77.293*v.^2 + 4.1437*v + 0.2683;
>> plot(v,g)
>> title('Polinomio g')
>> xlabel('v(u) = h - u (m)')
>> ylabel('g(v) (kN^2m^2)')
>> |
```

Figure 7: Plot do polinômio  $g$

```
Janela de Comandos
>> u = -2:0.01:8;
>> kef = 20*(0.5-sqrt(0.25+u.*(u-0.9165))).*(0.4583-u)./(u.*sqrt(0.25+u.*(u-0.9165)));
>> plot(u,kef)
>> title('Curva da rigidez efetiva')
>> xlabel('deslocamento u (m)')
>> ylabel('kef (kN/m)')
>>
```

Figure 8: Plot da curva de rigidez efetiva

```
Janela de Comandos
>> display('Estabilidade do equilibrio')
Estabilidade do equilibrio
>> v2 = 0.274753
v2 = 0.2748
>> v3 = 0.107882
v3 = 0.1079
>> z = 1600*v2^3 + 310.77*v2^2 -154.586*v2 + 4.1437
z = 18.316
>> z = 1600*v3^3 + 310.77*v3^2 -154.586*v3 + 4.1437
z = -6.9075
>>
```

Figure 9: Estabilidade do equilíbrio

## 2 Conclusões

Em primeira instância, pode-se dizer que foi realizada uma análise minimamente razoável do problema proposto, de forma que se fez possível a determinação de duas configurações de equilíbrio estático para a estrutura envolvida, as quais puderam ser caracterizadas com valores de deslocamento e rigidez efetiva.

O trabalho com as formulações e equações envolvidas foi conduzido de maneira que as soluções se mostraram coerentes com o problema físico, sobretudo quando se observa o comportamento dos gráficos que foram construídos.

Por fim, pode-se afirmar que o uso do Octave como ferramenta computacional auxiliou grandemente na visualização e construção do que foi apresentado anteriormente.